

$$\{F(x, y, \eta) - (x/0.2)F(0.2, y, \eta)\} \leq 0.06. \quad (4)$$

При  $\eta=2.4$  максимальное отклонение от линейности (точка Б) составляет 0.072, т. е. критерий (4) не выполняется. Однако эталон внутри резонатора лазера ограничивает область генерации и в результате уменьшает величину нелинейности затягивания мод до 0,043 при том же значении  $\eta$  (точка В). Опыт показывает, что в этом случае лазер действительно работает в режиме синхронизации мод.

Таким образом, становится очевидным влияние дисперсии активной среды на синхронизацию мод. Следует, однако, отметить, что для более точного анализа условия фазового захвата необходимо учитывать также и дисперсию фазового набега в эталоне [3, 4, 9].

Авторы считают своим долгом отметить большое внимание покойного акад. Р. В. Хохлова, а также Э. С. Воронина к данной работе.

1. J. Hirano, T. Kimura. *IEEE J. QE-5*, 219 (1969).
2. Ф. А. Королев, В. М. Салимов. Тезисы «Ломоносовских чтений», МГУ, 1972, с. 27.
3. Ю. В. Троицкий. «Письма в ЖТФ», 1, 200 (1975).
4. И. И. Суханов, Ю. В. Троицкий. «Квантовая электроника», 3, 2596 (1976).
5. Ю. М. Яковлев. *ЖПС*, 13, 728 (1970).
6. B. K. Garside. *IEEE J. QE-5*, 97 (1969).
7. Ф. А. Королев. Спектроскопия высокой разрешающей силы. М., ГИТТЛ, 1953.
8. С. Э. Фриш. Оптические спектры атомов. М.—Л., Гос. изд. физ.-мат. лит-ры, 1963.
9. F. Gires, P. Touzgois. *C. R. Acad. Sci., Paris*, 258, 6112 (1964).

Московский государственный  
университет им. М. В. Ломоносова

Поступило в редакцию  
19 января 1978 г.

D. P. Krindach, A. P. Kuznetsov, V. M. Salimov. Axial Mode Locking in the He—Ne Laser with the Use of the Fabry—Perot Etalon.

The He—Ne laser is employed as an example to consider an effect of the active medium dispersion on the self-mode-locking conditions. On the basis of performed calculations and experimental data it is shown that a tilting Fabry—Perot etalon introduced into the laser resonator may essentially raise the highest possible for the self-mode-locking conditions value of exceeding the laser action threshold.

«Квантовая электроника», 5, № 7 (1978)

УДК 621.373.826.038.823

Н. В. Съботинов, Е. Конечка, Е. Мизерачик, Н. К. Вучков

### ДВУПОЛЯРНЫЙ He—Cd-ЛАЗЕР С ПОЛЫМ КАТОДОМ

Для получения генерации в He—Cd активной среде представляет интерес использование тлеющего разряда с полым катодом. He—Cd-лазер с полым катодом генерирует 13 линий, расположенных в ИК, видимой и УФ областях спектра.

Впервые о генерации He—Cd-лазера с полым катодом сообщалось в работе [1]. В работе [2] полый катод был расположен соосно внутри цилиндрического анода, в работе [3] использовалась многоанодная конструкция лазерной трубки с полым катодом. Во всех этих работах, как и в последующих (см., например, [4]), питание лазерных трубок осуществлялось постоянным или пульсирующим током.

В настоящей работе мы сообщаем о новой конструкции лазерной трубки с полым катодом, использованной в He—Cd-лазере. Основное отличие ее состоит в том, что питание осуществляется переменным напряжением, которое подается на два одинаковых полых катода, расположенных параллельно вдоль оси разрядной трубки.

На рис. 1 представлена схема лазера. Электроды 2 и 2' внутренним диаметром 4 мм и длиной 70 см были изготовлены из нержавеющей стали и попеременно играли роль полых катодов. Расстояние между ними равно 5 мм. По образующей обоих электродов сделаны чередующиеся через каждые 40 мм отверстия 5 диаметром 3 мм и выступы 6 высотой 2 мм. Электроды помещены в изолирующие кварцевые трубы 3 так, что против каждого отверстия одного электрода находится выступ второго. Во внутренней полости каждого электрода по всей ее длине находился естественный Cd 4 в пылеобразном состоянии.

Питание лазерной трубки осуществляется переменным напряжением 220 В, 50 Гц через сопротивление 120 Ом. Во время одного полупериода выступы электрода 2 служат анодами и обеспечивают концентрацию разряда в полости противоположного электрода 2', который играет роль катода. В следующем полупериоде электроды 2 и 2' меняются ролями.

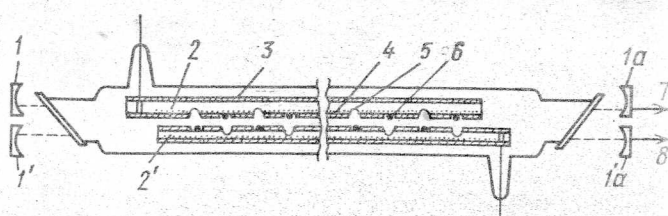


Рис. 1. Схема лазера.

При давлении Не 13—15 мм рт. ст. и разрядном токе 1,3 А электроды 2 и 2' нагреваются до 290°С. При этой температуре в сбоях электродах достигается оптимальная концентрация кадмийевых паров, необходимая для получения генерации на ионных линиях Cd с  $\lambda_{1,2,3} = 441,6; 533,7$  и 537,8 нм соответственно.

Лазерная трубка расположена в двойном резонаторе. Зеркала 1 и 1а составляют резонатор для лазерной среды электрода 2. Их радиус кривизны 2 м, коэффициенты отражения для  $\lambda_1$  99,7 и 99,2% соответственно. Второй резонатор для активной среды электрода 2' образован зеркалами 1' и 1'а с коэффициентами отражения для спектральной области 520—550 нм соответственно 99,7 и 99,0% и радиусом кривизны 2 м. В таком лазере имеется возможность генерировать излучение в синей 7 и зеленой 8 областях спектра по двум параллельным оптическим осям.

Выходная мощность лазера исследована в интервале давлений гелия 10—28 мм рт. ст. На рис. 2 представлено изменение общей выходной мощности для двух зеленых линий (кри-

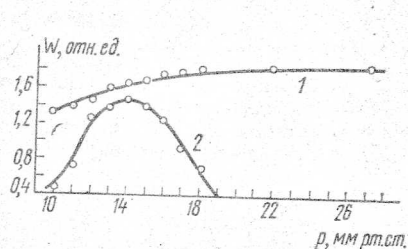


Рис. 2. Зависимости выходной мощности лазерного излучения от давления гелия при среднем значении разрядного тока 1,3 А.

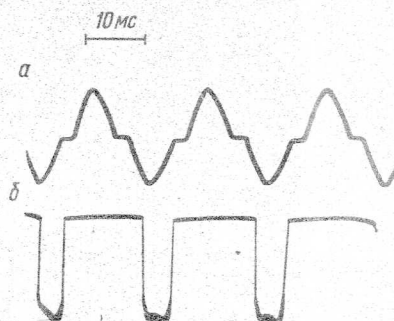


Рис. 3. Осциллограммы разрядного тока (a) и импульсов генерации (b).

вия 1) и для линии 441,6 нм (кривая 2). При давлениях гелия от 13 до 15 мм рт. ст. условий благоприятны для генерации как на синей, так и на зеленых линиях (в прикатодных областях электродов 2 и 2' (см. рис. 1) соответственно).

На рис. 3 показаны осциллограммы переменного разрядного тока и пульсирующей генерации двух зеленых линий.

В заключение остановимся на преимуществах сконструированного нами лазера. Питание разряда в нем осуществляется непосредственно от сети. Лазер имеет две оптические оси генерации. Чередование полярности электрода устраняет явление катапореза и приводит к однородному распределению паров металла по сечению активной области разряда.

Такую конструкцию лазерной трубки можно использовать и с парами других металлов, на которых осуществлена непрерывная генерация в лазере с полым катодом, таких как Zn, Hg, Cu и др.

1. Э. К. Карабут, В. С. Михалевский, В. Ф. Папакин, М. Ф. Сэм. ЖТФ, 39, 1923 (1969).
2. S. C. Wang, A. E. Siegmund. Appl. Phys., 2, 143 (1973).
3. Y. Sugawara, Y. Tokiva. Japan J. Appl. Phys., 9, 588 (1970).
4. L. Csillag, C. Z. Nam, M. Yanossy, K. Rozsa. Optics Comms., 21, 39 (1977).

Институт физики твердого тела  
Болгарской академии наук, София, НРБ  
Институт проточных машин Польской  
академии наук, Гданьск, ПНР

1604

Поступило в редакцию  
22 января 1978 г.

$$\{F(x, y, \eta) - (x/0,2)F(0,2, y, \eta)\} \leq 0,06. \quad (4)$$

При  $\eta=2,4$  максимальное отклонение от линейности (точка Б) составляет 0,072, т. е. критерий (4) не выполняется. Однако эталон внутри резонатора лазера ограничивает область генерации и в результате уменьшает величину нелинейности затягивания мод до 0,043 при том же значении  $\eta$  (точка В). Опыт показывает, что в этом случае лазер действительно работает в режиме синхронизации мод.

Таким образом, становится очевидным влияние дисперсии активной среды на синхронизацию мод. Следует, однако, отметить, что для более точного анализа условия фазового захвата необходимо учитывать также и дисперсию фазового набега в эталоне [3, 4, 9].

Авторы считают своим долгом отметить большое внимание покойного акад. Р. В. Хохлова, а также Э. С. Воронина к данной работе.

1. J. Hirano, T. Kimura. *IEEE J. QE-5*, 219 (1969).
2. Ф. А. Королев, В. М. Салимов. Тезисы «Ломоносовских чтений», МГУ, 1972, с. 27.
3. Ю. В. Троицкий. «Письма в ЖТФ», 1, 200 (1975).
4. И. И. Суханов, Ю. В. Троицкий. «Квантовая электроника», 3, 2596 (1976).
5. Ю. М. Яковлев. *ЖПС*, 13, 728 (1970).
6. B. K. Garside. *IEEE J. QE-5*, 97 (1969).
7. Ф. А. Королев. Спектроскопия высокой разрешающей силы. М., ГИТТЛ, 1953.
8. С. Э. Фриш. Оптические спектры атомов. М.—Л., Гос. изд. физ.-мат. лит-ры, 1963.
9. F. Gires, P. Touzgois. *C. R. Acad. Sci., Paris*, 258, 6112 (1964).

Московский государственный  
университет им. М. В. Ломоносова

Поступило в редакцию  
19 января 1978 г.

D. P. Krindach, A. P. Kuznetsov, V. M. Salimov. Axial Mode Locking in the He—Ne Laser with the Use of the Fabry—Perot Etalon.

The He—Ne laser is employed as an example to consider an effect of the active medium dispersion on the self-mode-locking conditions. On the basis of performed calculations and experimental data it is shown that a tilting Fabry—Perot etalon introduced into the laser resonator may essentially raise the highest possible for the self-mode-locking conditions value of exceeding the laser action threshold.

«Квантовая электроника», 5, № 7 (1978)

УДК 621.373.826.038.823

Н. В. Съботинов, Е. Конечка, Е. Мизерачик, Н. К. Вучков

### ДВУПОЛЯРНЫЙ He—Cd-ЛАЗЕР С ПОЛЫМ КАТОДОМ

Для получения генерации в He—Cd активной среде представляет интерес использование тлеющего разряда с полым катодом. He—Cd-лазер с полым катодом генерирует 13 линий, расположенных в ИК, видимой и УФ областях спектра.

Впервые о генерации He—Cd-лазера с полым катодом сообщалось в работе [1]. В работе [2] полый катод был расположен соосно внутри цилиндрического анода, в работе [3] использовалась многоанодная конструкция лазерной трубки с полым катодом. Во всех этих работах, как и в последующих (см., например, [4]), питание лазерных трубок осуществлялось постоянным или пульсирующим током.

В настоящей работе мы сообщаем о новой конструкции лазерной трубки с полым катодом, использованной в He—Cd-лазере. Основное отличие ее состоит в том, что питание осуществляется переменным напряжением, которое подается на два одинаковых полых катода, расположенных параллельно вдоль оси разрядной трубки.

На рис. 1 представлена схема лазера. Электроды 2 и 2' внутренним диаметром 4 мм и длиной 70 см были изготовлены из нержавеющей стали и попаременно играли роль полых катодов. Расстояние между ними равно 5 мм. По образующей обоих электродов сделаны чередующиеся через каждые 40 мм отверстия 5 диаметром 3 мм и выступы 6 высотой 2 мм. Электроды помещены в изолирующие кварцевые трубы 3 так, что против каждого отверстия одного электрода находится выступ второго. Во внутренней полости каждого электрода по всей ее длине находился естественный Cd 4 в пылеобразном состоянии.

Питание лазерной трубки осуществляется переменным напряжением 220 В, 50 Гц через сопротивление 120 Ом. Во время одного полупериода выступы электрода 2 служат анодами и обеспечивают концентрацию разряда в полости противоположного электрода 2', который играет роль катода. В следующем полупериоде электроды 2 и 2' меняются ролями.